## \_\_\_\_\_ ХИМИЧЕСКАЯ КИНЕТИКА \_\_\_\_ И КАТАЛИЗ

УЛК 541.15 : 541.183 : 670.3

# КИНЕТИКА РАДИАЦИОННО-КАТАЛИТИЧЕСКОГО И КАТАЛИТИЧЕСКОГО РАЗЛОЖЕНИЯ ВОДЫ НА ПОВЕРХНОСТИ НАНОЦИРКОНИЯ

© 2019 г. Т. Н. Агаев<sup>а</sup>, А. А. Гарибов<sup>а</sup>, В. И. Гусейнов<sup>а</sup>, С. З. Меликова<sup>а,\*</sup>, М. М. Тагиев<sup>b</sup>, С. З. Джафарова<sup>b</sup>

 $^a$  Национальная академия наук Азербайджана, Институт радиационных проблем, Баку, Азербайджан  $^b$  Азербайджанский государственный экономический университет, Баку, Азербайджан

\*e-mail: sevinc.m@rambler.ru

Поступила в редакцию 28.03.2018 г.

Исследована кинетика накопления молекулярного водорода при радиационно-каталитическом и каталитическом разложении воды на поверхности нано-Zr. Изучено влияние  $\gamma$ -излучений на систему нано- $Zr + H_2O$  при различных температурах. Определены значения скоростей накопления и радиационно-химического выхода молекулярного водорода при радиационно-каталитических процессах. Выявлены вклады каталитических и радиационно-каталитических процессов при накоплении молекулярного водорода в контакте нано- Zr с водой.

Ключевые слова: нано-цирконий, ү-излучения, молекулярный водород, радиолиз

**DOI:** 10.1134/S0044453719010023

Известно, что наноразмерные порошки циркония и диоксида Zr находят применение в различных технических изделиях. Одними из таких изделий являются топливные ячейки — устройства, которые служат для преобразования тепловой энергии в электрическую энергию. Топливные ячейки работают при достаточно высоких температурах, а для того, чтобы обеспечить их высокое качество, используют наноразмерные порошки, в частности циркония и диоксида циркония. При использовании нано-Zr в качестве компонента конструкционного материала, необходимо учитывать наличие фазовых переходов при высоких температурах [1—6].

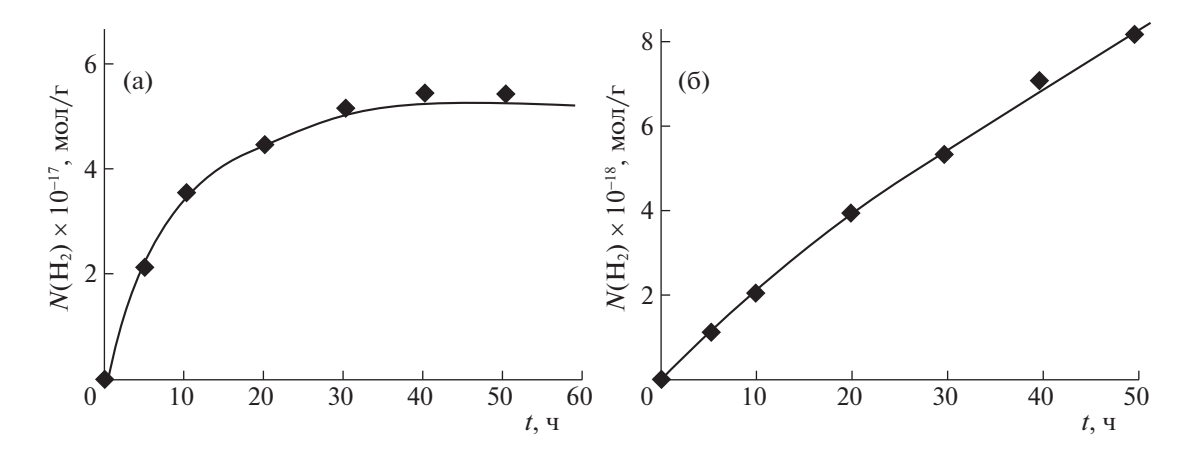
Цирконий принадлежит к числу таких редких металлов, который в силу исключительных свойств широко применяется в атомной энергетике, радиоэлектронике и ряде других отраслей техники. В связи с развитием атомной энергетики, цирконий привлек к себе внимание как возможный конструкционный материал для энергетических ядерных реакторов. Это привело к организации промышленного производства гибкого циркония и сплавов на его основе. Ценность циркония как конструкционного материала для атомной науки и техники определяется тем, что он имеет малое сечение захвата тепловых нейтронов (0.2 барн), высокую антикоррозионную стойкость, хорошие механические свойства [7—12].

### ЭКСПЕРИМЕНТАЛЬНАЯ ЧАСТЬ

Радиолиз воды проводили в статических условиях, в специальных кварцевых ампулах. Количество нано-Zr в ампулах составляло примерно  $4 \times 10^{-2}$  г. Для исследований взяли бидистилированную воду. Воду в ампулы вводили двумя методами. В первом случае - воду из парового состояния адсорбировали  $(H_2O_{\pi})$  на поверхность нано-Zr при T=77 K. Количество введенной воды в ампулы соответствовало плотности паров воды в ампулах, при  $\rho = 5 \text{ м}\Gamma/\text{см}^3$ . В исследуемых интервалах температур, происходит равновесие между количеством воды в паровом и адсорбированном состоянии. Во втором случае - воду из калибровочного объема ввели в ампулы до полного покрытия образца нано-Zr жидкой водой массой  $m_{\star} = 0.2$  г. Затем ампулы с образцами охлаждали до 77 К и запаивали.

Радиационные и радиационно-термические процессы проводили на изотопном источнике <sup>60</sup>Со. Мощность поглощенной дозы гамма-излучения определяли химическими-ферросульфатным, циклогексановым и метановыми дозиметрами [13]. Анализ продуктов радиационно-гетерогенных процессов проводили на газохроматографе "Agilent-7890".

Рентгенофазовым методом установлено, что используемый образец существует в двух кристаллических модификациях:



**Рис. 1.** Кинетическая кривая образования молекулярного водорода при радиационно-гетерогенном разложении воды в системах нано- $Zr + H_2O_{\pi}$  (a), нано- $Zr + H_2O_{\pi}$  (б) при T = 300 K, D = 0.15 Гр/с.

α-Zr с гексагональной решеткой типа магния (a = 3.231 Å; c = 5.148 Å; z = 2; пространственная группа  $P6_3/mmc$ ),  $\beta$ -Zr с кубической объемноцентрированной решеткой (a = 3.61 Å, z = 2, пространственная группа Іт3m). Показано, что адсорбция воды в наноцирконии происходит по молекулярному и диссоциативному механизму. Зарегистрированы промежуточные продукты радиационно-гетерогенного разложения ион-радикалы молекулярного кислорода, пероксид водорода, гидрид циркония и гидроксильные группы. Проведен сравнительный анализ изменения полос поглощения молекулярной воды и поверхностно гидроксильных групп, зависящих от температуры, а также выявлена стимулирующая роль радиации в радиационно-термическом процессе разложения воды.

### ОБСУЖДЕНИЕ РЕЗУЛЬТАТОВ

Изучена кинетика накопления молекулярного водорода при гетерогенном радиолизе воды в системах нано- $Zr + H_2O_{\pi}$  и нано- $Zr + H_2O_{\Pi}$ . Нано-Zr как конструкционный материал, обладает радиационной стойкостью и работоспособностью в ядерных реакторах. Радиационно-каталитическая активность нано-Zr определяется двумя методами, как было указано в экспериментальной части. На рис. 1 приведены кинетические кривые

**Таблица 1.** Значения скоростей и радиационно-химических выходов молекулярного водорода при радиационно-гетерогенном радиолизе воды в двух состояниях при  $T=300~{
m K}$ 

| № | Облучаемые<br>системы |                       | $G({ m H}_2),$ молекул/100 эВ |
|---|-----------------------|-----------------------|-------------------------------|
| 1 | $Zr + H_2O_{\Pi}$     | $1.22 \times 10^{13}$ | 1.3                           |
| 2 | $Zr + H_2O_x$         | $6.67 \times 10^{13}$ | 7.1                           |

накопления молекулярного водорода при гетерогенном радиолизе воды в присутствии нано-Zr в двух состояниях. Из начальных линейных частей кинетических кривых определены значения скоростей и радиационно-химического выхода водорода в исследуемых системах [14].

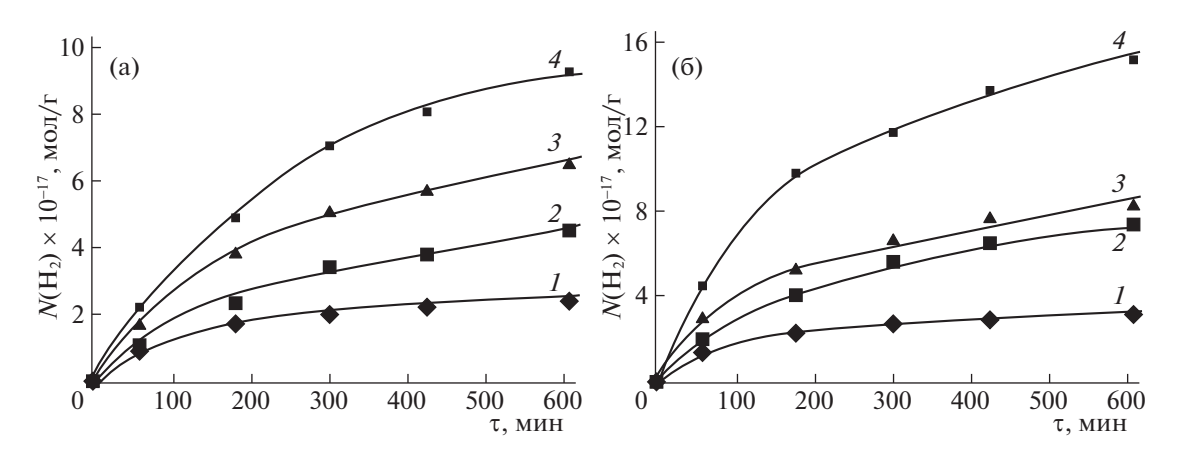
На кинетической кривой, показанной на рис. 1(а), можно выделить два участка:

I — область, которая характеризуется относительно большой скоростью накопления водорода на начальных линейных участках;

II — относительно медленная стадия накопления молекулярного водорода.

На кинетической кривой, показанной на рис. 1(б), можно рассмотреть рост скорости накопления молекулярного водорода. Это еще раз свидетельствует о том, что при покрытом полностью водой слое катализатора в реакторе, в процессе разложения воды - участвуют не только энергоносители, полученные на основе зонных переходов, но и б-электроны с малой энергией, а также эмитированные электроны. Поэтому, в конечном итоге выход водорода в нано-Zr + H<sub>2</sub>O<sub>ж</sub> больше, чем в нано- $Zr + H_2O_{II}$ . Из табл. 1 видно, что при гетерогенном радиолизе воды в состоянии полного покрытия слоя наноциркония (нано-Zr + + H<sub>2</sub>O<sub>w</sub>), наблюдаемые значения радиационнохимического выхода водорода в ~5.4 раза больше, чем при гетерогенном радиолизе воды в адсорбированном состоянии на поверхности наноциркония. Это свидетельствует о том, что в случае наноциркония в объеме воды, существует эффективный перенос энергии от твердой фазы к молекулам воды.

Наличие на кинетических кривых, второй медленной стадии радиолиза, свидетельствует о том, что существует диффузионно затрудненная стадия гетерогенного радиолиза воды в присутствии наноциркония при  $T=300~{\rm K}.$ 



**Рис. 2.** Кинетика накопления молекулярного водорода при каталитическом (а) и радиационно-каталитическом (б) разложении воды на поверхности нано-Zr, при различных температурах: 1-373, 2-473, 3-573, 4-673 K ( $\rho_{\rm H_2O}=5~{\rm M}\Gamma/{\rm cm}^3$ ,  $D=0.32-0.26~{\rm \Gamma p/c}$ ).

Влияния температуры на скорости образования молекулярного водорода при гетерогенном радиолизе воды, изучены на примере систем нано- $Zr + H_2O_{\pi}$ , так как повышение температуры в системе нано- $Zr + H_2O_{\pi}$  в замкнутых ампулах, экспериментально невозможно.

Выявлено, что при  $T \ge 373$  K, диоксид циркония обладает термокаталитической активностью в процессе разложения воды [15]:

$$H_2O_{\Pi} \to H_2 + (1/2)O_2.$$
 (1)

Экспериментально можно получить информацию о радиационно-каталитических и каталитических процессах накопления водорода при радиационно-гетерогенных процессах разложения воды. Терморадиационные и термические процессы разложения воды в присутствии наноциркония проведены при идентичных условиях.

С целью выявления закономерностей влияния температуры на радиационно-гетерогенные процессы в системе нано-Zг—вода проведены исследования накопления молекулярного водорода при различных температурах. Кинетические кривые радиационно-каталитических и каталитических процессов разложения воды при температурах T = 373-673 K, приведены на рис. 2. С увели-

чением температуры, вторая медленная стадия процесса накопления водорода на некоторых кривых не наблюдается.

Радиационная составляющая радиационнотермических процессов в первом приближении определена как:

$$W_p(H_2) = W_{pT}(H_2) - W_T(H_2),$$
 (2)

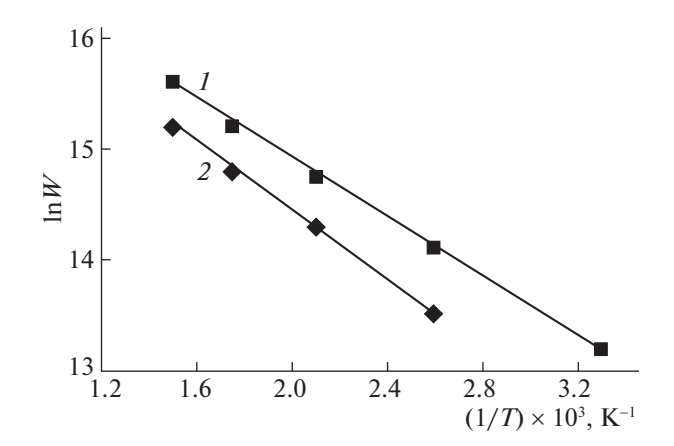
где  $W_p({\rm H}_2)$  — скорость образования молекулярного водорода при радиационно составляющем процессе;  $W_{pT}({\rm H}_2)$  и  $W_T({\rm H}_2)$  — скорости образования молекулярного водорода при радиационнотермическом и термическом процессе разложения воды.

По значению скоростей образования молекулярного водорода при радиационно составляющих радиационно-термических процессов разложения воды, определены значения радиационнохимических выходов (табл. 2).

Сравнение значений выходов молекулярного водорода при радиационно-гетерогенном процессе в системе нано- $Zr + H_2O_{\Pi}$  в интервале температур T = 300-673 К показывает, что температура стимулирует процесс гетерогенного радиолиза и при этом выход водорода растет линейно с температурой от 1.3 до 8.4 мол./100 эВ.

**Таблица 2.** Значения скоростей и радиационно-химических выходов молекулярного водорода при радиационно-каталитических, каталитических и радиационных процессах разложения воды в системе нано- $Zr + H_2O_{\pi}$  при различных температурах

| <i>T</i> , K | $W_{pT}(\mathrm{H}_2)$ , мол, г $^{-1}$ с $^{-1}$ | $W_T$ (H <sub>2</sub> ), мол, г $^{-1}$ с $^{-1}$ | $W_p(H_2)$ , мол, $\Gamma^{-1} c^{-1}$ | $G(H_2)$ , молекул/100 эВ |
|--------------|---------------------------------------------------|---------------------------------------------------|----------------------------------------|---------------------------|
| 300          | _                                                 | _                                                 | $1.22 \times 10^{13}$                  | 1.3                       |
| 373          | $4.1 \times 10^{13}$                              | $2.6 \times 10^{13}$                              | $1.5 \times 10^{13}$                   | 2.1                       |
| 473          | $5.56 \times 10^{13}$                             | $2.77 \times 10^{13}$                             | $2.79 \times 10^{13}$                  | 3.7                       |
| 573          | $8.88 \times 10^{13}$                             | $5.00 \times 10^{13}$                             | $3.88 \times 10^{13}$                  | 5.17                      |
| 673          | $1.33 \times 10^{14}$                             | $0.70 \times 10^{14}$                             | $0.63 \times 10^{14}$                  | 8.4                       |



**Рис. 3.** Зависимости  $\ln W$  от обратной температуры при радиационно-каталитическом (*1*) и каталитическом (*2*) разложении воды в присутствии нано- $\operatorname{Zr} + \operatorname{H}_2\operatorname{O}$ .

На рис. 3 показаны зависимости скоростей радиационно-термических (1) и термических (2) процессов накопления молекулярного водорода при радиационно-гетерогенном разложении воды в присутствии наноциркония. На основе температурной зависимости скоростей процессов в аррениусовских координатах определены значения энергии активации.

Энергии активации радиационно-термических и термических процессов накопления молекулярного водорода равны  $E_{\rm a}=22.3$  и 33.8 кДж/моль соответственно. Энергия активации процесса термического разложения воды в присутствии нано-Zr больше, чем при радиационно-термическом процессе. В радиационно-термическом процессе разложения воды участвуют радиационно-генерированные активные центры поверхности и вторичные электронные излучения, которые обладают большей энергией, чем термически активные центры. Поэтому энергия активации процесса накопления молекулярного водорода растет в термических процессах по сравнению с радиационно-термическими [14, 15].

Таким образом, исследована кинетика накопления молекулярного водорода при  $\gamma$ -радиолизе чистой воды и системы нано- $Zr + H_2O$ . Установлено, что радиационно-химический выход для нано- $Zr + H_2O$  больше ( $G(H_2) = 1.30$  молек./100 эВ), чем при радиолизе чистой воды ( $G(H_2) = 0.45$  мол./100 эВ). Изучена кинетика накопления молекулярного

водорода при радиационных, радиационно-каталитических и каталитических процессах в контакте нано-Zг с водой. Показано, что образование поверхностно-активных центров и вторичных электронов в присутствии нано-Zг, обусловливает увеличение скоростей накопления молекулярного водорода при каталитических и радиационно-каталитических процессах в системе нано-Zг +  $H_2$ O. Установлено, что начиная с  $T \ge 373$  К в нано-Zг при протекании каталитических и радиационно-каталитических процессов происходит накопление поверхностно-активных центров разложения воды [2, 16—18].

#### СПИСОК ЛИТЕРАТУРЫ

- 1. *Kumbhar A.G., Bhardwaj Y.K., Naik D.B.* // Current science. 2014. V. 107. № 1. P. 88.
- 2. *Petrik N.G., Alexsandrov A.B., Vall A.I.* // J. of Physical Chemistry B. 2001. V. 56. P. 5935.
- 3. LaVerne J.A. // Ibid. 2005. V. 109. P. 5395.
- 4. LaVerne J.A. // Radiation Research. 2000. V. 153. P. 196.
- 5. LaVerne J.A. // Ibid. 2000. V. 153. P. 487.
- LaVerne J.A., Pimblott S.M. // J. of Physical Chemistry A. 2000. V. 104. P. 9820.
- 7. Pimblott S.M., LaVerne J.A. // Ibid. 1990. V. 94. P. 488.
- 8. *Green N.J.B.*, *LaVerne J.A.* // Radiation Physics and Chemistry. 1988. V. 32. P. 99.
- 9. *LaVerne J.A.*, *Schuler R.H.* // J. of Physical Chemistry. 1983. V. 87. P. 4564.
- Seino S., Fujimoto R., Yamamoto T.A. // Scripta Mater. 2001. V. 44. P. 1709.
- Sawasaki T., Tanabe T., Yoshida T., Ishida R. // J. of Radioanalitical and nuclear chemistry. 2003. V. 255. № 2. P. 271.
- 12. Агаев Т.Н., Иманова Г.Т. // Актуальные проблемы химии высоких энергий. Москва. 2015. С. 110.
- Пикаев А.К. Дозиметрия в радиационной химии. М.: Наука, 1975. 312 с.
- 14. *Гарибов А.А., Агаев Т.Н., Иманова Г.Т. и др. //* Химия высоких энергий. 2014. Т. 48. № 4. С. 281.
- 15. *Гарибов А.А., Агаев Т.Н., Иманова Г.Т., Мамедъярова И.А.* // Transactions of Azerbaijan National Academy Of Sciences. 2015. № 5. С. 55.
- Гарибов А.А., Агаев Т.Н., Иманова Г.Т., Эюбов К.Т. // Вопросы атомной науки и техники. 2015. № 5 (99). С 48
- 17. Seino S., Yamamoto T.A., Fujimoto R. et al. // J. of Nuclear Science and Technology. 2001. V. 38. № 8. P. 633.
- 18. *Агаев Т.Н.*, *Гарибов А.А.*, *Гусейнов В.И.* // Вопросы атомной науки и техники. 2017. № 5 (111). С. 27.